

ただし、 V_p : ピトー管により求める羽口衝風速度 m/s
 このようにして求めた各羽口の衝風速度が平均値と次式によつて全送風量より求めた羽口平均流速とを比較したところ、両者の間にはほとんど差がなくピトー管より求めた流速が常に 2~3% 小さくなつた。

$$V_b = W \times \frac{1034}{1034 + P_0} \times \frac{273 + t}{273} \times \frac{1}{N} \times \frac{1}{\pi / 4 \cdot D^2}$$

ただし、 V_b : 送風量より求めた羽口風速 m/s

N: 羽日本数 15

P_9 : 送風圧力 g/cm²

この結果は、送風途中の漏風などを考慮したとき、この方法による測定値の精度がきわめて高いことを示していると思われる。ピトー管によって求めた各羽口の風速をつぎの(3)式によって補正し、これから(4)式によつて各羽口の衝風流量を求め、これを標準状態(0°C 1気圧)に換算して Fig. 4 に示す。

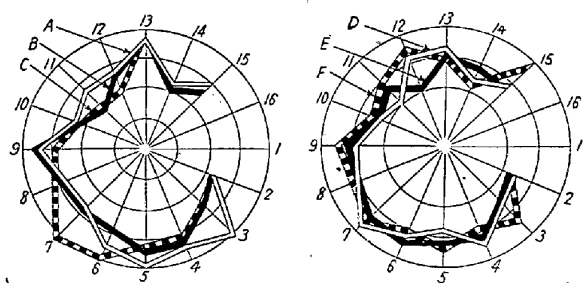


Fig. 4. Blast distribution to tuyeres
of Kukioka No. 2 B.F.

$$V = V_p \times \frac{\frac{\Sigma V_b}{N}}{\frac{\Sigma V_p}{\Sigma}} \dots \dots \dots \quad (3)$$

$$W_i = V \times \pi/4 \cdot D^2 \quad \dots \dots \dots \quad (4)$$

ただし、 I : 測定羽口本数

W_i : 各羽口内の衝風流量 m^3/s

この結果を見ると当熔鉱炉の各羽口間の衝風流量は比較的均一であるが、それでもかなりの不均一性が認められる。またある羽口では常に多量の衝風が通過し、また他のある羽口では常に少量の衝風が通過する傾向があることがわかる。さらにこの各羽口内の衝風流量はストック・ラインの降下および炉頂ガス分布の傾向とも一致している。このため、各羽口内の衝風流速を測定することによってストック・ラインの各面における降下状態や通風分布も推定することができる。

III. 結 言

Fig. 2 に示すような装置を作り、これによつて熔鉢炉の各羽口内の衝風流量を求めたが、比較的に精度の高い測定結果を得ることができた。各熔鉢炉はそれぞれ特性のある通風分布をしており、この特性は相当長期間にわたつて変化しないと考えられる。またこの各羽口内の衝風流速の測定結果からストック・ライン全面における低下状態を通氣分布を推定できた。

(8) 熔鉱炉における操業について

(自熔性焼結鉱の操業試験—II)

On the Blast Furnace Operation.

(Experimental operation with self-fluxing sintered ore—II)

Makoto Inoue, et alii.

八幡製鐵所，製銑部

工　辻畠敬治・工　井上　誠・工　中村直人
　　工　吉永博一・　　安田弘路

I. 緒 言

八幡製鉄所洞岡工場において昨年7月より11月まで
石灰焼結鉱に関する第1期操業試験をおこなつて一応の
結論を得たのでここにその概要を報告したい。

II. 試 驗 概 要

操業試験は当所洞岡第2高炉（内容積 879m³，公称
700t 吹入昭和 31年 10月 5日）でおこなつたもので，
焼結原料中石灰石配合割合は 10% とし焼結鉱使用量は
装入鉱石中 40%， 60%， 80%， 100% とし各々 1カ月
間維持して操業し昭和 33 年 7 月より 11 月にわたつて
おこなつたものである。試験期間は Table 1 に示す通
りである。

Table 1.

| | 1958 | Jul. | Aug. | Sep. | Oct. | Nov. |
|----------|----------|------|------|------|------|------|
| Sinter % | Schedule | 40 | 60 | 80 | 80 | 100 |
| | Actual | 41.0 | 60.9 | 80.7 | 80.5 | 100 |

各期間の成績は鉱石切換などの影響を除くため最終日より 15 日間を取つた(ただし 11 月は 1 日より 20 日まで). また 9 月は焼結工場で修理その他事故があつたため 10 月にふたたび 80% 使用をくりかえした. 送風中湿度は 25 g/m^3 一定に調湿するなど, 操作条件はできるだけ一定とし, コークス比低下を主目標として操業した.

III. 高炉操業実績概要

試験期間においては全般を通じ炉況は順調であつたが9月下旬に溝口破損事故を2回起した。この対策として砂鉄使用量を減じその後は良好な操業状態であつた。

装入原料の使用量、性状および高炉操業実績はTable 2~5に示す通りである。(焼結鉱品質については第I報参照のこと)

IV. 考察

(1) 出銘量

今回の試験はコークス比に主目標を置いて操業したが石灰焼結鉱の増量とともに出銘量が増加した。80%使用試験では出銘量を抑制するため減風しなければならなかつた。100%使用試験ではさらに減風したが1000t/d(1.137t/m³/d)以上の出銘をおこなつた。これはコークス比の低下によるものである。炉内の通風性は頗る良

好であるので出銘量に重点を置けば非常に高い生産性を示すものと期待される。

(2) コークス比

石灰焼結使用増加によってコークス比を大巾に低下することができた。特に100%使用試験ではコークス比の顕著な低下が認められた。しかしながら石灰焼結鉱の性状によつてコークス比は大きく左右される。同じ石灰焼結80%使用においても9月と10月では非常に異り、9月コークス比0.624、10月0.593となつてゐる。この原因は焼結鉱強度が9月の方が10月よりも軟弱であつたためである。この対策として10月は硫酸滓の配合を25%より20%に下げ外地粉を増加して強度の向上を計り、さらに粉焼結鉱除去に努めた結果鉱石量をいちじるしく増加することができコークス比は低下した。

以上のことから石灰焼結鉱使用に当つては単に石灰石

Table 2. Raw materials used per ton pig.

| Sort of materials | Jul. | Aug. | Sep. | Oct. | Nov. |
|-------------------|-------|-------|-------|-----------------|-------|
| Lime sinter | 662 | 983 | 1,354 | 1,327 | 1,590 |
| Korea | 176 | 191 | 178 | 161 | 0 |
| Washed Dungun | 224 | 218 | 0 | 0 | 0 |
| Primary Dungun | 108 | 104 | 113 | Srimedan 130 | 0 |
| Goa | 409 | 85 | 0 | 0 | 0 |
| Mixed ore | 34 | 33 | 32 | 30 | 0 |
| Iron ore total | 1,615 | 1,615 | 1,676 | 1,648 | 1,590 |
| O. H. Slag | 115 | 110 | 80 | 58 | 55 |
| Lime stone | 139 | 119 | 76 | 94 | 5 |
| Metallic | 0 | 0 | 0 | 0 | 31 |
| Coke | 650 | 628 | 624 | 593 | 529 |

Table 3. Ore size.

| Month | Iron ore (without sinter) | | | | Sinter | | | | |
|-------|---------------------------|---------|-------|------|--------|--------|---------|-------|------|
| | -10mm | 10~50mm | +50mm | Mean | -6mm | 6~10mm | 10~50mm | +50mm | Mean |
| Jul. | 28 | 63 | 9 | 27 | No | Sample | | | |
| Aug. | 19 | 68 | 13 | 31 | | | | | |
| Sep. | 15 | 70 | 15 | 33 | 31 | 27 | 34 | 7 | 17 |
| Oct. | 14 | 79 | 7 | 30 | 17 | 36 | 41 | 6 | 20 |
| Nov. | — | — | — | — | 10 | 36 | 42 | 12 | 24 |

Table 4. Coke quality.

| Month | Ash | Dram index | Moisture | Size | | Flue temp. |
|-------|-------|------------|----------|--------|------|------------|
| | | | | +100mm | Mean | |
| Jul. | 10.81 | 92.92 | 1.58 | 19.0 | 79.5 | 1157 |
| Aug. | 10.74 | 92.90 | 1.60 | 17.9 | 78.3 | 1151 |
| Sep. | 10.71 | 92.77 | 1.63 | 17.0 | 77.7 | 1182 |
| Oct. | 10.75 | 92.88 | 1.64 | 15.4 | 76.8 | 1177 |
| Nov. | 10.67 | 92.84 | 1.70 | 16.3 | 77.6 | 1186 |

Table 5. Operation data.

| | Jan. Feb. Mar. mean | Jul | Aug | Sep | Oct | Nov |
|-------------------------------|------------------------------|-------|-------|-------|-------|-------|
| Lime stone in sinter mixture% | 0 | 10 | 10 | 10 | 10 | 10 |
| Sinter % | 48 | 40 | 60 | 80 | 80 | 100 |
| Pig production t/d | 861 | 853 | 925 | 901 | 912 | 1,026 |
| Cke ratio | 632 | 650 | 628 | 624 | 593 | 529 |
| Ore/Coke | 2,476 | 2,482 | 2,573 | 2,686 | 2,779 | 3,006 |
| Smelt/Coke | 3,061 | 2,872 | 2,938 | 2,935 | 3,035 | 3,179 |
| Slag ratio | 474 | 498 | 484 | 534 | 523 | 453 |
| Ore ratio | 1,563 | 1,615 | 1,615 | 1,676 | 1,648 | 1,590 |
| Blast m ³ /mn | 1,191 | 1,163 | 1,149 | 1,112 | 1,036 | 1,009 |
| Blast press g/cm ² | 848 | 1,015 | 938 | 890 | 808 | 670 |
| Blast temp °C | 786 | 819 | 835 | 795 | 825 | 871 |
| Top gas temp °C | 190 | 213 | 207 | 216 | 198 | 206 |
| Top gas CO/CO ₂ | 1.54 | 1.60 | 1.63 | 1.65 | 1.49 | 1.39 |
| Top gas CO ₂ % | 16.3 | 15.6 | 15.6 | 15.3 | 16.3 | 17.1 |
| Slag CaO/SiO ₂ | 1.30 | 1.32 | 1.28 | 1.19 | 1.21 | 1.13 |
| Pig Si % | 0.71 | 0.60 | 0.60 | 0.64 | 0.61 | 0.68 |
| Pig S % | 0.022 | 0.022 | 0.022 | 0.026 | 0.024 | 0.033 |
| Checking per 10 days | 2.7 | 0 | 0 | 0 | 0 | 0 |
| Flue dust kg/t | 22 | 30 | 27 | 29 | 22 | 16 |
| Charged S kg/t | 5.91 | 5.11 | 4.91 | 5.11 | 5.16 | 3.91 |
| Charged TiO ₂ kg/t | 13.3 | 13.8 | 17.0 | 18.2 | 11.4 | 15.7 |
| Iron sand kg/t | 117 | 106 | 155 | 172 | 88 | 145 |
| Metallic kg/t | 39 | 0 | 0 | 0 | 0 | 31 |

焙焼熱量の節約のみを目的としたのでは不充分で炉内通気性の向上あるいは還元性の向上をも考えなければ効果を上げることができないなお石灰焼結鉱使用量増加についてコークス比低下率が増加して行くことは注目すべきことで、この原因については焼結鉱性状や炉内温度分布、装入分布などに関して検討を進めねばならないが、炉前における焼結鉱粒度から考えて普通装入鉱石に対する予備処理法に関しても多くの示唆を与えるものであろう。

(3) 銑鉄成分および鉱滓成分

石灰焼結鉱使用操業の大きな特徴として鉱滓の脱硫能力の増加が挙げられる。銑鉄成分は Table 5 に示すように S および Si に大きな変化はないが石灰焼結增加とともに低塩基度で操業している。これにより添加石灰石量は減少し、造滓量も減少することになり石灰焼結鉱の大きな利益に挙げられる。この理由としては焼結過程において石灰の活性化がおこなわれているため炉内における反応が充分に行われるものと考えられる。このほか銑鉄成分としては P, Cu が漸次上昇し Mn がやや低下し、

鉱滓成分としては Al₂O₃ が低下し TiO₂ が増加した。

(4) 炉頂ガス成分

Table 5 に見られるように 9 月までの実績では石灰焼結鉱の増加により CO₂ が減少し CO/CO₂ が増加している。この原因として石灰石分解により発生する CO₂ が減少したためと一応考えられるが 10 月の 80% および 11 月の 100% 使用試験では CO₂ の増加が認められる、これは間接還元が増加していることを示すものであろう。このことからも焼結鉱の性状如何によつて石灰焼結鉱の効果が大きく変ることが想像される。Table 6 にカーボンバランスの推移を示す。

V. 結 言

今回おこなった石灰焼結鉱に関する操業試験の結果つきのことがいえる。

1) 烧結原料中に 10% の石灰石を配合すると焼結成の品質が低下する。特に強度が低下しやすく、この影響が強く高炉操業に作用するので強度の強い良質焼結鉱を造ることが第一条件である。

Table 6. Carbon balance.

| | Jul | Aug | Sep | Oct | Nov |
|-----------------------------------|-------|-------|-------|-------|-------|
| Combustion C before the tuyere | 401.4 | 379.0 | 381.9 | 362.8 | 310.6 |
| Consumption C by H ₂ O | 30.7 | 29.1 | 29.3 | 27.8 | 7.8 |
| Direct reduction of Mn. Si. P | 10.4 | 10.8 | 11.1 | 10.7 | 11.1 |
| C in pig iron | 45.5 | 46.8 | 44.9 | 46.5 | 45.9 |
| C in flue dust | 5.4 | 4.5 | 4.8 | 3.6 | 3.6 |
| Solution loss | 81.0 | 99.3 | 80.0 | 73.2 | 83.9 |
| Total | 574.4 | 569.5 | 552.0 | 524.6 | 462.9 |

- 2) 石灰焼結鉱を増加すると出銑量を増加しやすくなり、低コークス比で高い生産性を得ることができる。
- 3) 良質の石灰焼結を増加するといちじるしいコークス比低下をおこなうことができる、特に100%使用では相当な効果が期待できる。
- 4) 石灰焼結鉱を使用することにより銑鉄の炉内脱硫が良くおこなわれ低塩基度操業が可能である。

以上のように良好な石灰焼結鉱を多量に使用すれば、高炉の能率を飛躍的に増進することが認められたが、焼結鉱の物理的品位を高めることや、使用面にさらに検討を要するところで、今後とも研究を積むこととする。

(註 11月 100%石灰焼結使用試験 data は期限のため 20 日までの実績を記載した)

(9) ラジオアイソトープによる高炉
炉壁の侵蝕調査

Measurement of the Wear of a Blast Furnace Brick Work with a Radioactive Isotope.

Shiro Shono, et alii.

富士製鐵，釜石製鐵所

工博富永在寛・八塚健夫・○庄野四朗

I. 緒 言

高炉操業中に炉壁煉瓦の侵蝕状況をラジオアイソトープを用いて非破壊的に調査することは、すでに英國、ドイツその他において報告されている。これらの測定に利用されたアイソトープはすべて ^{60}Co であるが、これは強い γ 線を放出し 5・2 年という長い半減期を持つため、この目的にもつとも適している。しかしその反面、放射線障害を生ずるおそれも大きいためその使用量はできるだけ少なくすることが必要である。

高炉煉瓦積に ^{60}Co を埋め込みその侵蝕状況を測定する方法としては (1) 侵蝕により脱落した ^{60}Co の放射能の消滅を炉壁外から検知する方法, (2) 高炉から出る銑鉄中があらわれる放射能を検出する方法の 2 法があるが、後者についてはすでに当所でおこなつている高炉荷下り速度の測定から少量の ^{60}Co で可能なことがわかつ

ており(1)の方法について基礎研究を重ねた結果、昨年8月に改修に入つた当所第10高炉壁煉瓦積11個所に⁶⁰Coを埋め込み、11月18日吹入とともに測定を開始した。

II. 吸収係数の測定

^{60}Co を高炉煉瓦積に埋め込むと、その放射線は煉瓦目地、スタンプ材、鉄皮などにより吸収され外壁に達するまでには相当弱くなる。その減衰の割合は次式で表わされる。

式中 I_0 は初めの放射線強度, I は厚み t の物質を透過した後の放射線強度, μ はその物質特有の放射線吸収係数である。この式から t と $\log I$ とは直線関係にあるため両者を実測すれば μ を求めることができる。そこで ^{60}Co を用いて炉壁構成材料および装入物について吸収係数を測定した結果を Table 1 に示す。なおこれについては Voice ならびに Mintrop なども報告しているのでこれらを併記する。

これらのうち高炉煉瓦についての Voice の値は低すぎるようと思われ、また焼結鉱およびコークスは粒度などの条件により異なるためそのまま比較することはできない。

III. 埋込量および埋込方法

これまでおこなわれた実験ではいずれも 1 個所に 1 個のみの ^{60}Co を埋め込んだが、これを Fig. 1 のように中心線上に数個深さを変えて埋め込むと外壁で検出される放射線強度は各アイソトープ単独の場合の強度の和として示されるため、放射能の減少から炉壁侵蝕を連続的に測定することができると思われる。また Voice は 1 個所に約 10 mc, Mintrop などは 3~150 mc という大量の ^{60}Co を使用しており、Voice によれば 34 mc/100 t までは許されるといわれるが、できる限り少量に

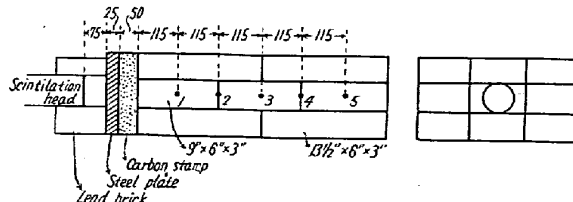


Fig. 1. Brick work of the B. F. shaft.

Table 1. Linear absorption coefficient (cm^{-1})

| | B. F Brick | Carbon brick | Steel plate | Sinter ore | Coke |
|------------|------------|--------------|-------------|------------|----------|
| By authors | 0·104 | 0·075 | 0·35 | 0·075 | 0·025 |
| " Voice | 0·060 | 0·060 | 0·35 | 0·053 | 0·014~18 |
| " Mintrop | 0·097 | 0·059 | 0·34 | — | — |